

# problema dos três corpos

Allison Eduardo de Sousa Bonfim  
mackhyuuga@hotmail.com

20/02/2019

# Sumário

<b>1</b>	<b>Descrição do código</b>	<b>2</b>
1.1	Resumo . . . . .	2
1.2	Descrição do problema físico . . . . .	2
1.3	Métodos e análise numérica . . . . .	3
1.4	Runge Kutta de quarta ordem . . . . .	3
1.5	Explicação do código . . . . .	3
<b>2</b>	<b>Resultados e análise de dados</b>	<b>4</b>
2.1	Resultados . . . . .	4
2.2	análise de dados . . . . .	7
	<b>referência</b>	<b>8</b>

## 1 Descrição do código

### 1.1 Resumo

O problema dos três corpos consiste na análise da dinâmica de objetos puntiformes interagindo mutuamente através da força gravitacional. Ao longo de mais de três séculos, o estudo deste tipo de sistema levou ao desenvolvimento e aprimoramento de diversas técnicas matemáticas, tanto analíticas quanto numéricas. Este trabalho terá como objetivo desenvolver e discutir este tipo de problema e seus resultados.

### 1.2 Descrição do problema físico

O problema consiste em descrever o movimento de três partículas interagindo entre si por força gravitacional. Sejam três massas  $m_1$ ,  $m_2$  e  $m_3$  no  $\mathbb{R}^2$  cujas posições serão indexadas pelos vetores  $\vec{r}_1$ ,  $\vec{r}_2$ ,  $\vec{r}_3$ . Pelas leis de Newton e pelo princípio da superposição, podemos chegar nas seguintes equações diferenciais de segunda ordem.

$$m_1 \frac{d^2 \vec{r}_1}{dt^2} = \frac{Gm_1m_2}{|\vec{r}_{12}|^3}(\vec{r}_2 - \vec{r}_1) + \frac{Gm_1m_3}{|\vec{r}_{13}|^3}(\vec{r}_3 - \vec{r}_1) \quad (1)$$

$$m_2 \frac{d^2 \vec{r}_2}{dt^2} = \frac{Gm_2m_3}{|\vec{r}_{23}|^3}(\vec{r}_3 - \vec{r}_2) + \frac{Gm_2m_1}{|\vec{r}_{21}|^3}(\vec{r}_1 - \vec{r}_2) \quad (2)$$

$$m_3 \frac{d^2 \vec{r}_3}{dt^2} = \frac{Gm_3m_2}{|\vec{r}_{32}|^3}(\vec{r}_2 - \vec{r}_3) + \frac{Gm_3m_1}{|\vec{r}_{31}|^3}(\vec{r}_1 - \vec{r}_3) \quad (3)$$

sendo  $G$  a constante da gravitação universal, ao longo desse trabalho assumirei que  $G = 1 \frac{Nm^2}{kg^2}$ , e  $\vec{r}_{ij} = \vec{r}_i - \vec{r}_j$ .

Ao invés de se trabalhar com essas três equações diferenciais de segunda ordem, é vantajoso fazer  $\vec{v}_i = \frac{d\vec{r}_i}{dt}$  e consequentemente  $\frac{d\vec{v}_i}{dt} = \frac{d^2\vec{r}_i}{dt^2}$ ; obtendo, assim, seis equações vetoriais diferenciais de primeira ordem ou doze equações escalares. As equações referentes a  $m_1$  se encontram abaixo e as outras são para  $m_2$  e  $m_3$  são análogas:

$$\left\{ \begin{array}{l} \frac{dv_{1x}}{dt} = \frac{m_2}{|\vec{r}_{12}|^3}(x_2 - x_1) + \frac{m_3}{|\vec{r}_{13}|^3}(x_3 - x_1) \\ \frac{dr_{1x}}{dt} = v_{1x} \\ \frac{dv_{1y}}{dt} = \frac{m_2}{|\vec{r}_{12}|^3}(y_2 - y_1) + \frac{m_3}{|\vec{r}_{13}|^3}(y_3 - y_1) \\ \frac{dr_{1y}}{dt} = v_{1y} \end{array} \right. \quad (4)$$

As definições apresentadas também podem ser usadas, com algumas mudanças, para corpos cujas dimensões não sejam desprezíveis. Para o caso de uma distribuição esfericamente simétrica, pode-se aplicar as equações apresentadas supondo que toda a massa está concentrada em seu centro. Essa conclusão foi obtida por Newton em 1685 e sua demonstração pode ser encontrada em [5].

### 1.3 Métodos e análise numérica

Foi provado por Poincaré em 1890 que este problema é insolúvel por quadratura, assim sendo, são somente possíveis séries de aproximações. O método numérico escolhido para resolver as equações diferenciais foi o Runge Kutta de quarta ordem.

A minha intenção inicial é fazer um programa que, a partir das condições iniciais, calcule a força na partícula 1 devido a 2 e 3, assim descobrindo a sua aceleração e a sua trajetória durante um intervalo pequeno de tempo; o mesmo será feito, simultaneamente, para 2 e 3. Então, tendo a posição de  $\vec{r}_1(t + dt)$ ,  $\vec{r}_2(t + dt)$ ,  $\vec{r}_3(t + dt)$ ; o procedimento se repetirá de tal forma que após  $n$  repetições tenhamos a descrição da orbital no um intervalo de tempo desejado.

### 1.4 Runge Kutta de quarta ordem

Seja um sistema de equações diferenciais com valor inicial especificado

$$\begin{cases} y'_1 = f_1(x, y_1, y_2, \dots, y_n), & y_1(x_0) = y_{1,0} \\ y'_2 = f_2(x, y_1, y_2, \dots, y_n), & y_2(x_0) = y_{2,0} \\ \vdots \\ y'_n = f_n(x, y_1, y_2, \dots, y_n), & y_n(x_0) = y_{n,0} \end{cases} \quad (5)$$

podemos encontrar uma aproximação numérica para o mesmo através de

$$\mathbf{y}_{n+1} = \mathbf{y}_n + \frac{h}{6}(\mathbf{k}_1 + 2\mathbf{k}_2 + 2\mathbf{k}_3 + \mathbf{k}_4) \quad (6)$$

$$\mathbf{k}_1 = \mathbf{f}(x_n, \mathbf{y}_n)$$

$$\mathbf{k}_2 = \mathbf{f}\left(x_n + \frac{h}{2}, \mathbf{y}_n + \mathbf{k}_1 \frac{h}{2}\right)$$

$$\mathbf{k}_3 = \mathbf{f}\left(x_n + \frac{h}{2}, \mathbf{y}_n + \mathbf{k}_2 \frac{h}{2}\right)$$

$$\mathbf{k}_4 = \mathbf{f}(x_n + h, \mathbf{y}_n + \mathbf{k}_3 h)$$

### 1.5 Explicação do código

O código é composto por três partes: A parte da resolução numérica feita em fortran 95 tem como objetivo pegar as condições iniciais de um arquivo "entrada.txt" calcular as órbitas dos objetos e escrever os resultados no arquivo "resultados.txt". O segundo programa, este em python, pega os dados gerados pelo programa em fortran para produzir os gráficos. E o terceiro feito em JavaScript será usado para produzir algumas animações referentes ao movimento dos objetos.

O meu objetivo enquanto escrevia o código era mantê-lo o mais genérico possível, assim caso queira usá-lo para resolver um outro sistema de equações diferenciais o número de mudanças a serem feitas serão mínimas. Essas alterações consistem basicamente em mudar as funções existentes em subroutine.

## 2 Resultados e análise de dados

### 2.1 Resultados

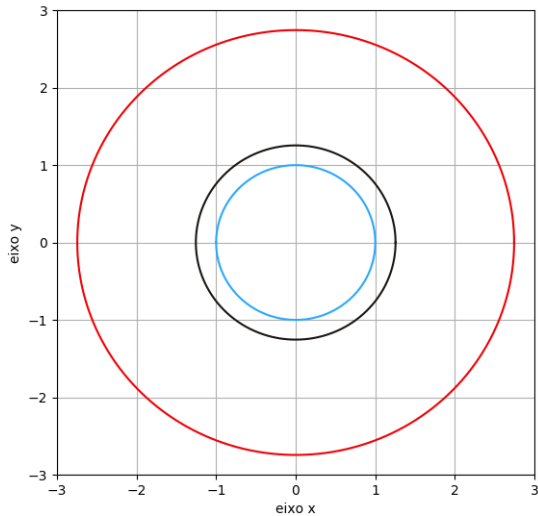


Figura 1: <https://editor.p5js.org/mackhyuuga/present/bJTulIqZ>

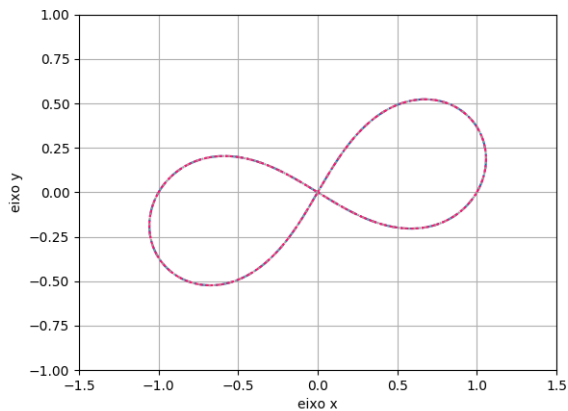
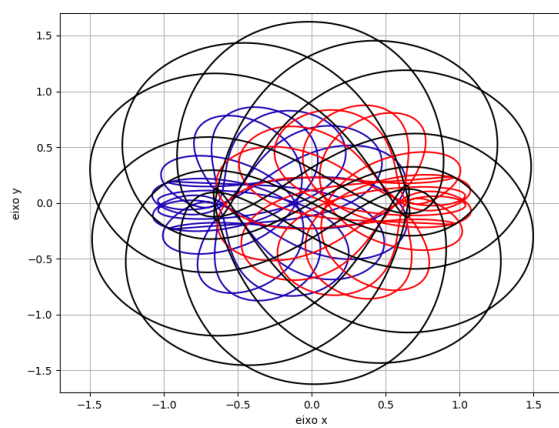
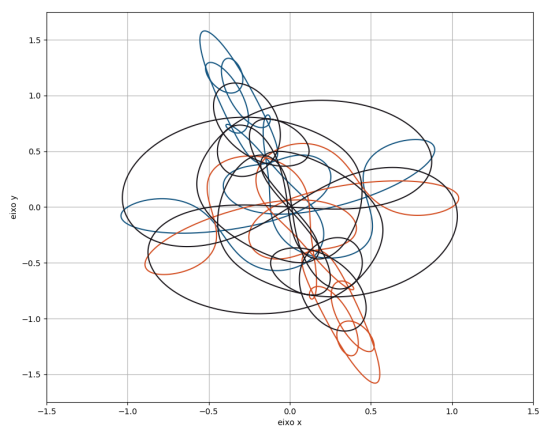
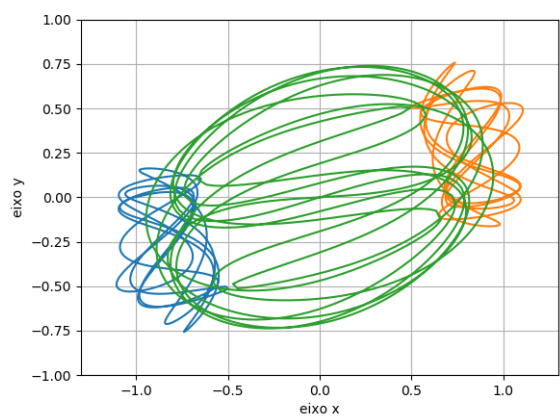
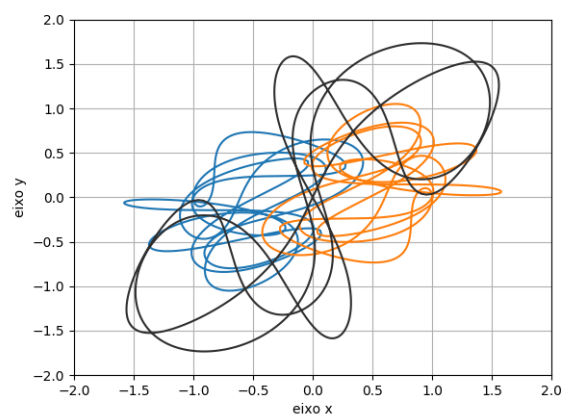
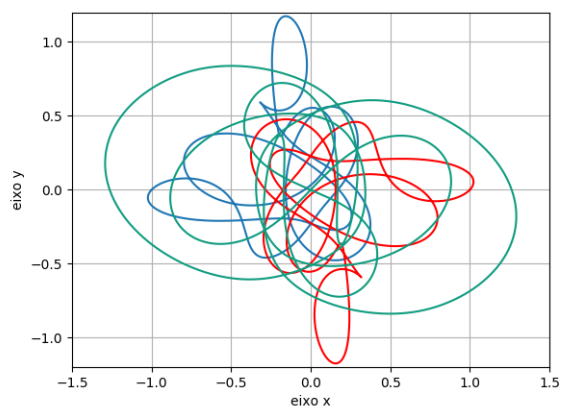
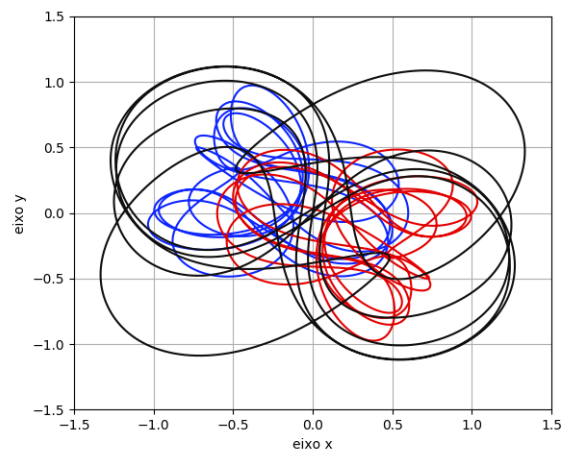


Figura 2: [https://editor.p5js.org/mackhyuuga/present/9P\\_W\\_E09](https://editor.p5js.org/mackhyuuga/present/9P_W_E09)

A primeira imagem é a solução do problema de três corpos obtida em 1763, por Leonhard Euler [3]. A outra é a solução em oito, obtida numericamente com o auxílio computacional por Cristopher Moore, em 1993 [4], e comprovada analiticamente pouco tempo depois pelos matemáticos Alain Chenciner e Richard Montgomery [2].

A seguir algumas orbitas cujas condições iniciais foram adquiridas em [1].



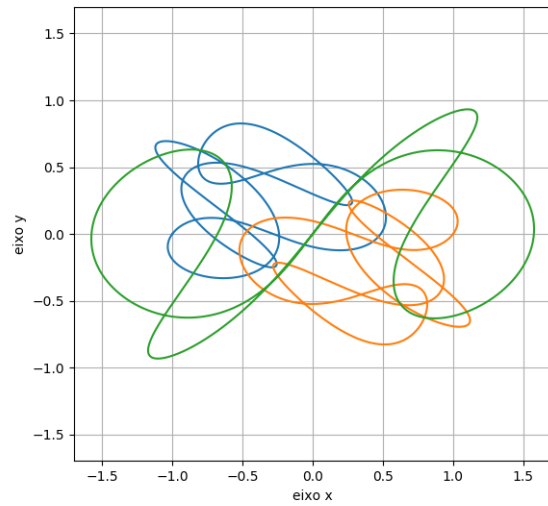


Figura 3: <https://editor.p5js.org/mackhyuuga/present/mmKXya9x>

Figura 4: [https://editor.p5js.org/mackhyuuga/present/l\\_DgLy\\_i](https://editor.p5js.org/mackhyuuga/present/l_DgLy_i)

Figura 5: [https://editor.p5js.org/mackhyuuga/present/NlpjJj\\_x](https://editor.p5js.org/mackhyuuga/present/NlpjJj_x)

Figura 6: <https://editor.p5js.org/mackhyuuga/present/pz5hbB9v>

Figura 7: <https://editor.p5js.org/mackhyuuga/present/WXWM16ow>

Figura 8: <https://editor.p5js.org/mackhyuuga/present/vXuAw84s>

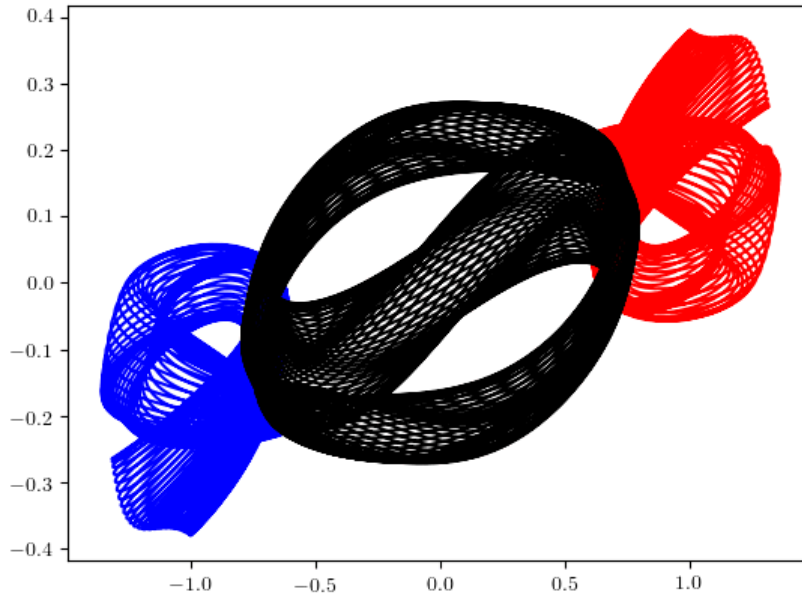
Figura 9: <https://editor.p5js.org/mackhyuuga/present/j91lxYaY>

Figura 10: <https://editor.p5js.org/mackhyuuga/present/A8qEBvkt>

Segue o código que gerou as animações: <https://editor.p5js.org/mackhyuuga/sketches/cpap5p2Z>

## 2.2 análise de dados

Os resultados foram bastante satisfatórios, no caso das três orbitas concêntricas 2.1 por exemplo foi facil analisar a incerteza das posições uma vez que os raios dos círculos deveriam se manter constante e de fato se mentiveram com um erro relativo máximo de 2% ao longo de 17.1655 segundo, tempo necessário para que o objeto completasse uma volta. Esse erro pode ser explicado com base nas condições iniciais pois o sistema é bastante sensível à esses valores e sua precisão, esses detalhes são discutidos em maior profundidade no artigo que estou usando como base [6]. Para finalizar deixo essa que foi a imagem mais bela que consegui produzir com o sistema de três corpos.



## Referências

- [1] Movies of the periodic planar collisionless three-body orbits with unequal mass in real space or on shape sphere. <http://numericaltank.sjtu.edu.cn/three-body/three-body-unequal-mass-movies.htm>. 09 fev. 2020.
- [2] Alain Chenciner and Richard Montgomery. Mathematics department, princeton university. *Annals of Mathematics*, 152:881–901, 2000.
- [3] Leonhard Euler. De motu rectilineo trium corporum se mutuo attrahentium. *Novi commentarii academiae scientiarum Petropolitanae*, pages 144–151, 1767.
- [4] Christopher Moore. Braids in classical gravity. *Phys. Rev. Lett*, 70(24):3675–3679, 1993.
- [5] Herch Moysés Nussenzveig. *Curso de Física Básica: Fluidos, Oscilações e Ondas, Calor: (vol. 2)*, volume 394. Editora Blucher, 2013.
- [6] Luciano JB Quaresma and Manuel E Rodrigues. Coreografias no problema de três corpos restrito. *Revista Brasileira de Ensino de Física*, 41(2), 2019.